

Eingabe: Farbmétrisches Offset-Reflektiv-System ORS18

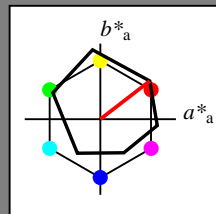
für Buntton $h^* = lab^*h = 38/360 = 0.105$

lab^*tch und lab^*nch

D65: Buntton O

LCH*Ma: 48 83 38

olv*Ma: 1.0 0.0 0.0



ORS18; adaptierte CIELAB-Daten

	$L^*=L^*_a$	a^*_a	b^*_a	$C^*_{ab,a}$	$h^*_{ab,a}$
O _m	47.94	65.39	50.52	82.63	38
Y _m	90.37	-10.26	91.75	92.32	96
L _m	50.9	-62.83	34.96	71.91	151
C _m	58.62	-30.34	-45.01	54.3	236
V _m	25.72	31.1	-44.4	54.22	305
M _m	48.13	75.28	-8.36	75.74	354
N _m	18.01	0.0	0.0	0.0	0
W _m	95.41	0.0	0.0	0.0	0
R _{CIE}	39.92	58.66	26.98	64.57	25
J _{CIE}	81.26	-2.16	67.76	67.79	92
G _{CIE}	52.23	-42.25	11.76	43.87	164
B _{CIE}	30.57	1.15	-46.84	46.86	271

Dreiecks-Helligkeit t^*

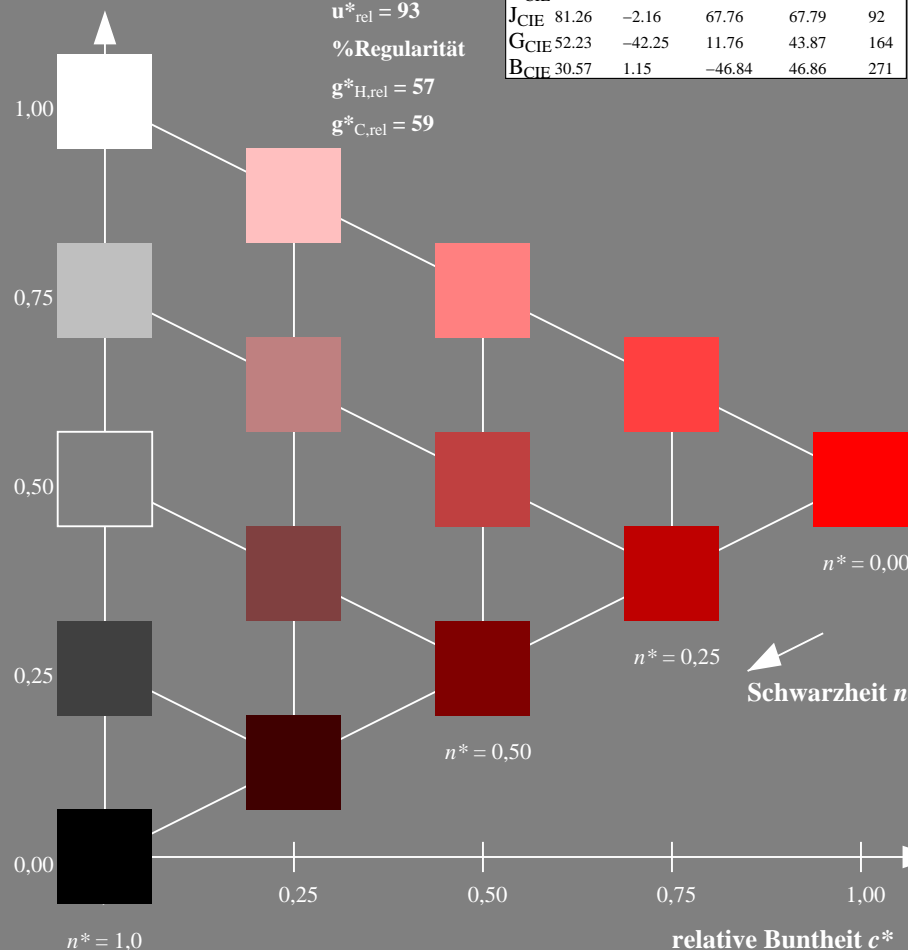
%Umfang

$u^*_{rel} = 93$

%Regularität

$g^*_{H,rel} = 57$

$g^*_{C,rel} = 59$



NG220-7, 5 stufige Reihen für konstanten CIELAB Buntton $38/360 = 0.105$ (links)

Ausgabe: Farbmétrisches Standard-Reflektiv-System SRS18

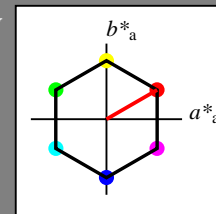
für Buntton $h^* = lab^*h = 30/360 = 0.083$

LAB^*LCH, LAB^*NCH

D65: Buntton O

LCH*Ma: 57 77 30

olv*Ma: 1.0 0.0 0.0



SRS18; adaptierte CIELAB-Daten

	$L^*=L^*_a$	a^*_a	b^*_a	$C^*_{ab,a}$	$h^*_{ab,a}$
O _m	56.71	67.03	38.7	77.4	30
Y _m	56.71	0.0	77.4	77.4	90
L _m	56.71	-67.02	38.7	77.4	150
C _m	56.71	-67.02	-38.69	77.4	210
V _m	56.71	0.0	-77.39	77.4	270
M _m	56.71	67.03	-38.69	77.4	330
N _m	18.01	0.0	0.0	0.0	0
W _m	95.41	0.0	0.0	0.0	0
R _{CIE}	39.92	58.74	27.99	65.07	25
J _{CIE}	81.26	-2.88	71.56	71.62	92
G _{CIE}	52.23	-42.41	13.6	44.55	162
B _{CIE}	30.57	1.41	-46.46	46.49	272

CIELAB-Helligkeit L^*

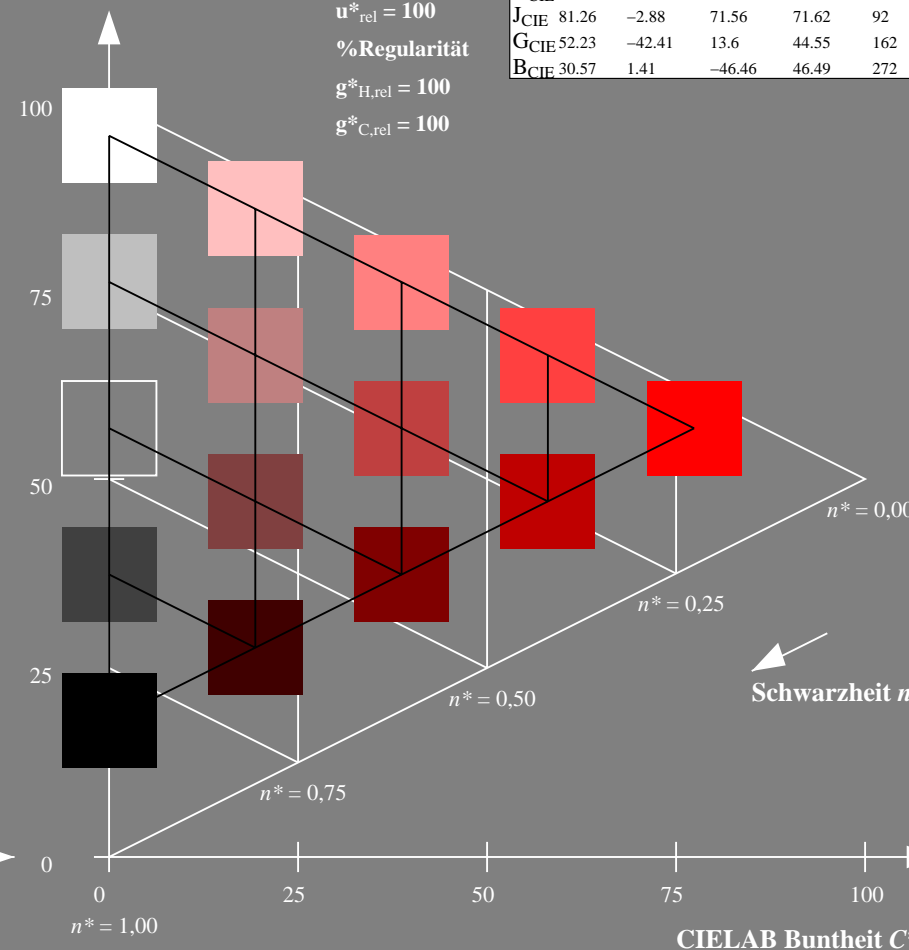
%Umfang

$u^*_{rel} = 100$

%Regularität

$g^*_{H,rel} = 100$

$g^*_{C,rel} = 100$



5 stufige Reihen für konstanten CIELAB Buntton $30/360 = 0.083$ (rechts)

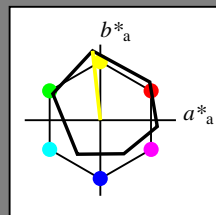
BAM-Prüfvorlage NG22; Farbmétrik-Systeme ORS18 & SRS18 input: olv* setrgbcolor

D65: Koordinatensysteme; 5stufige Farbreihen für 10 Bunttöne output: no change compared to input

Eingabe: Farbmimetrisches Offset-Reflektiv-System ORS18

für Buntton $h^* = lab^*h = 96/360 = 0.268$
 lab^*tch und lab^*nch

D65: Buntton Y
LCH*Ma: 90 92 96
olv*Ma: 1.0 1.0 0.0



ORS18; adaptierte CIELAB-Daten

	$L^*=L^*_a$	a^*_a	b^*_a	$C^*_{ab,a}$	$h^*_{ab,a}$
O _m	47.94	65.39	50.52	82.63	38
Y _m	90.37	-10.26	91.75	92.32	96
L _m	50.9	-62.83	34.96	71.91	151
C _m	58.62	-30.34	-45.01	54.3	236
V _m	25.72	31.1	-44.4	54.22	305
M _m	48.13	75.28	-8.36	75.74	354
N _m	18.01	0.0	0.0	0.0	0
W _m	95.41	0.0	0.0	0.0	0
R _{CIE}	39.92	58.66	26.98	64.57	25
J _{CIE}	81.26	-2.16	67.76	67.79	92
G _{CIE}	52.23	-42.25	11.76	43.87	164
B _{CIE}	30.57	1.15	-46.84	46.86	271

Dreiecks-Helligkeit t^*

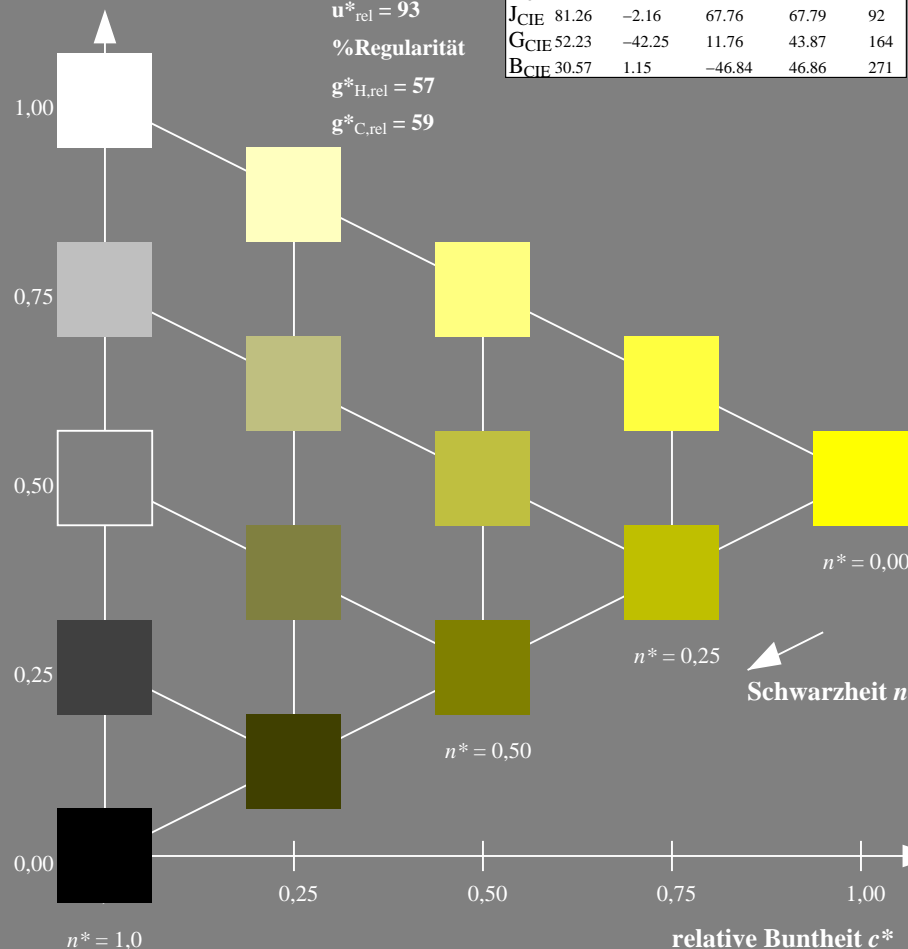
%Umfang

$u^*_{rel} = 93$

%Regularität

$g^*_{H,rel} = 57$

$g^*_{C,rel} = 59$

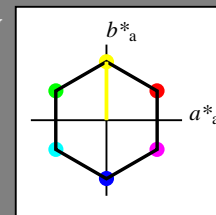


NG220-7, 5 stufige Reihen für konstanten CIELAB Buntton 96/360 = 0.268 (links)

Ausgabe: Farbmimetrisches Standard-Reflektiv-System SRS18

für Buntton $h^* = lab^*h = 90/360 = 0.25$
 LAB^*LCH , LAB^*NCH

D65: Buntton Y
LCH*Ma: 57 77 90
olv*Ma: 1.0 1.0 0.0



SRS18; adaptierte CIELAB-Daten

	$L^*=L^*_a$	a^*_a	b^*_a	$C^*_{ab,a}$	$h^*_{ab,a}$
O _m	56.71	67.03	38.7	77.4	30
Y _m	56.71	0.0	77.4	77.4	90
L _m	56.71	-67.02	38.7	77.4	150
C _m	56.71	-67.02	-38.69	77.4	210
V _m	56.71	0.0	-77.39	77.4	270
M _m	56.71	67.03	-38.69	77.4	330
N _m	18.01	0.0	0.0	0.0	0
W _m	95.41	0.0	0.0	0.0	0
R _{CIE}	39.92	58.74	27.99	65.07	25
J _{CIE}	81.26	-2.88	71.56	71.62	92
G _{CIE}	52.23	-42.41	13.6	44.55	162
B _{CIE}	30.57	1.41	-46.46	46.49	272

CIELAB-Helligkeit L^*

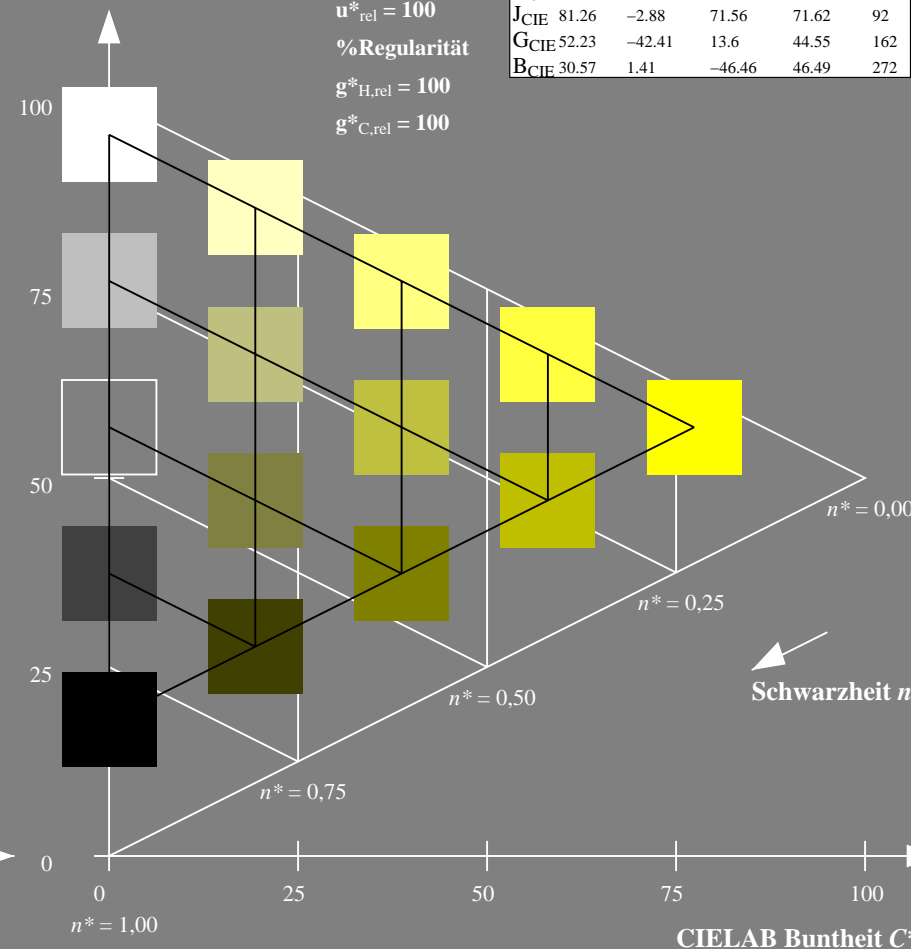
%Umfang

$u^*_{rel} = 100$

%Regularität

$g^*_{H,rel} = 100$

$g^*_{C,rel} = 100$



5 stufige Reihen für konstanten CIELAB Buntton 90/360 = 0.25 (rechts)

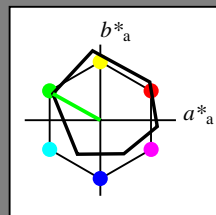
BAM-Prüfvorlage NG22; Farbmimetrik-Systeme ORS18 & SRS18 input: olv* setrgbcolor

D65: Koordinatensysteme; 5stufige Farbreihen für 10 Bunttöne output: no change compared to input

Eingabe: Farbmimetrisches Offset-Reflektiv-System ORS18

für Buntton $h^* = lab^*h = 151/360 = 0.419$
 lab^*tch und lab^*nch

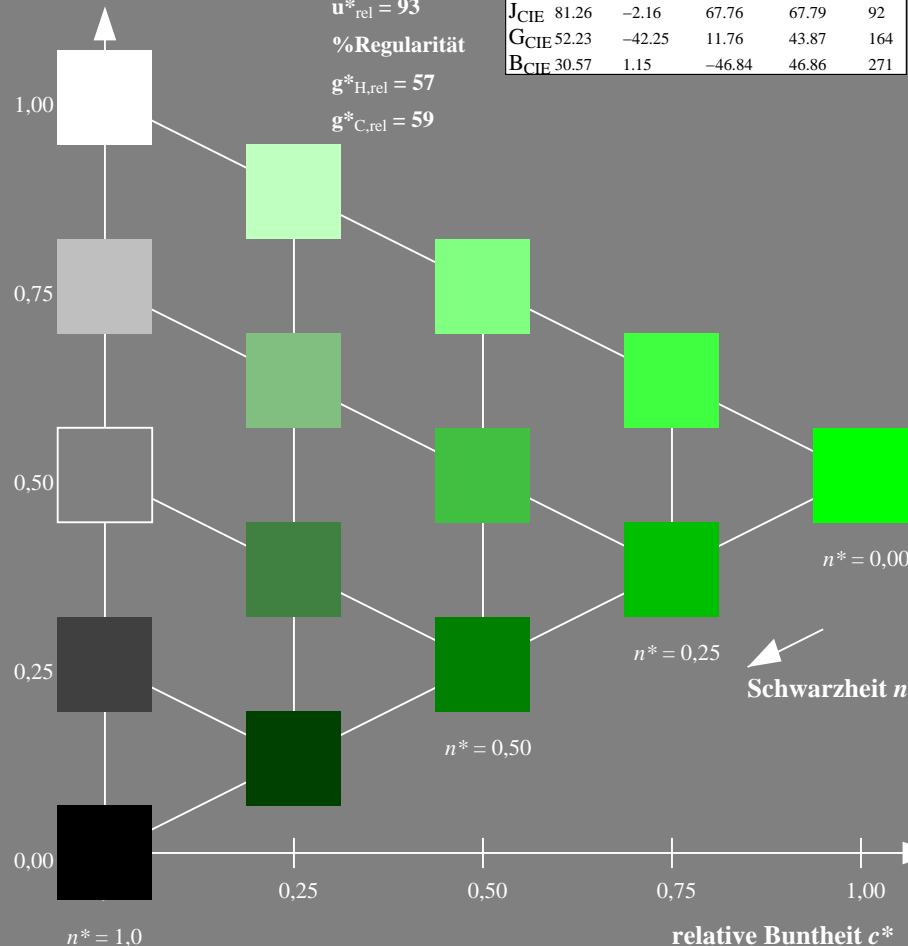
D65: Buntton L
LCH*Ma: 51 72 151
olv*Ma: 0.0 1.0 0.0



ORS18; adaptierte CIELAB-Daten					
	$L^*=L^*_a$	a^*_a	b^*_a	$C^*_{ab,a}$	$h^*_{ab,a}$
O _m	47.94	65.39	50.52	82.63	38
Y _m	90.37	-10.26	91.75	92.32	96
L _m	50.9	-62.83	34.96	71.91	151
C _m	58.62	-30.34	-45.01	54.3	236
V _m	25.72	31.1	-44.4	54.22	305
M _m	48.13	75.28	-8.36	75.74	354
N _m	18.01	0.0	0.0	0.0	0
W _m	95.41	0.0	0.0	0.0	0
R _{CIE}	39.92	58.66	26.98	64.57	25
J _{CIE}	81.26	-2.16	67.76	67.79	92
G _{CIE}	52.23	-42.25	11.76	43.87	164
B _{CIE}	30.57	1.15	-46.84	46.86	271

Dreiecks-Helligkeit t^*

%Umfang
 $u^*_{rel} = 93$
%Regularität
 $g^*_{H,rel} = 57$
 $g^*_{C,rel} = 59$

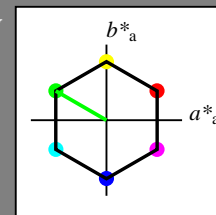


NG220-7, 5 stufige Reihen für konstanten CIELAB Buntton 151/360 = 0.419 (links)

Ausgabe: Farbmimetrisches Standard-Reflektiv-System SRS18

für Buntton $h^* = lab^*h = 150/360 = 0.417$
 LAB^*LCH , LAB^*NCH

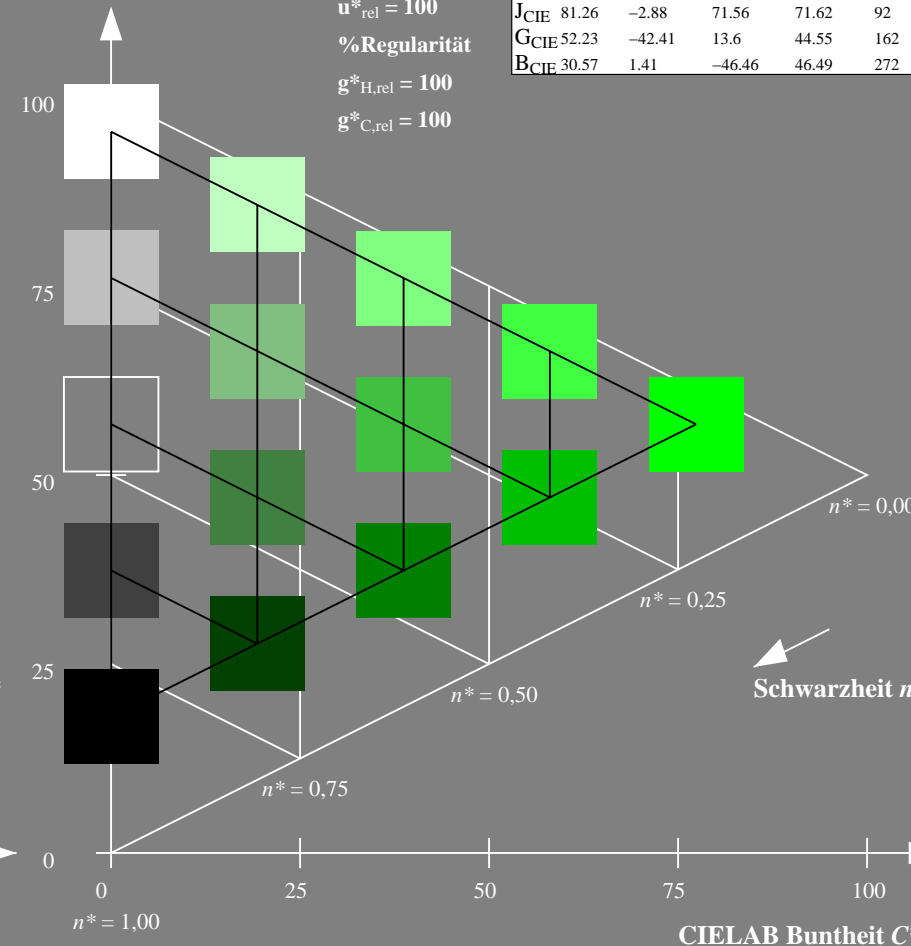
D65: Buntton L
LCH*Ma: 57 77 150
olv*Ma: 0.0 1.0 0.0



SRS18; adaptierte CIELAB-Daten					
	$L^*=L^*_a$	a^*_a	b^*_a	$C^*_{ab,a}$	$h^*_{ab,a}$
O _m	56.71	67.03	38.7	77.4	30
Y _m	56.71	0.0	77.4	77.4	90
L _m	56.71	-67.02	38.7	77.4	150
C _m	56.71	-67.02	-38.69	77.4	210
V _m	56.71	0.0	-77.39	77.4	270
M _m	56.71	67.03	-38.69	77.4	330
N _m	18.01	0.0	0.0	0.0	0
W _m	95.41	0.0	0.0	0.0	0
R _{CIE}	39.92	58.74	27.99	65.07	25
J _{CIE}	81.26	-2.88	71.56	71.62	92
G _{CIE}	52.23	-42.41	13.6	44.55	162
B _{CIE}	30.57	1.41	-46.46	46.49	272

CIELAB-Helligkeit L^*

%Umfang
 $u^*_{rel} = 100$
%Regularität
 $g^*_{H,rel} = 100$
 $g^*_{C,rel} = 100$

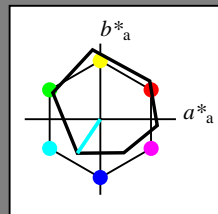


5 stufige Reihen für konstanten CIELAB Buntton 150/360 = 0.417 (rechts)

Eingabe: Farbmétrisches Offset-Reflektiv-System ORS18

für Buntton $h^* = lab^*h = 236/360 = 0.656$
 lab^*tch und lab^*nch

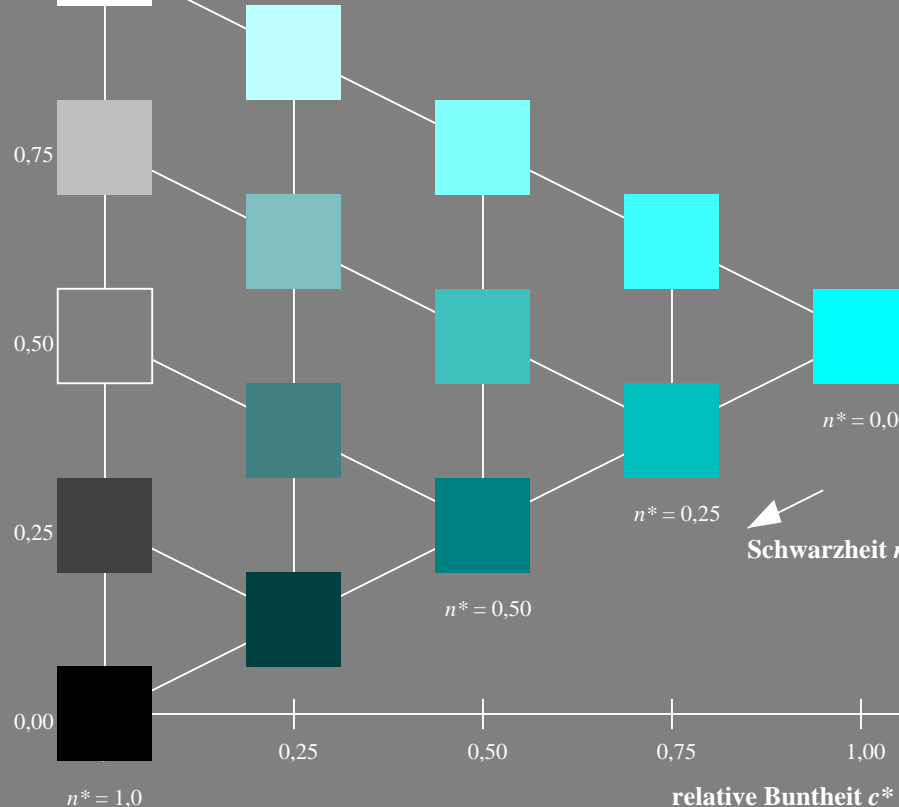
D65: Buntton C
LCH*Ma: 59 54 236
olv*Ma: 0.0 1.0 1.0



ORS18; adaptierte CIELAB-Daten					
	$L^*=L^*_a$	a^*_a	b^*_a	$C^*_{ab,a}$	$h^*_{ab,a}$
O _m	47.94	65.39	50.52	82.63	38
Y _m	90.37	-10.26	91.75	92.32	96
L _m	50.9	-62.83	34.96	71.91	151
C _m	58.62	-30.34	-45.01	54.3	236
V _m	25.72	31.1	-44.4	54.22	305
M _m	48.13	75.28	-8.36	75.74	354
N _m	18.01	0.0	0.0	0.0	0
W _m	95.41	0.0	0.0	0.0	0
R _{CIE}	39.92	58.66	26.98	64.57	25
J _{CIE}	81.26	-2.16	67.76	67.79	92
G _{CIE}	52.23	-42.25	11.76	43.87	164
B _{CIE}	30.57	1.15	-46.84	46.86	271

Dreiecks-Helligkeit t^*

%Umfang
 $u^*_{rel} = 93$
%Regularität
 $g^*_{H,rel} = 57$
 $g^*_{C,rel} = 59$

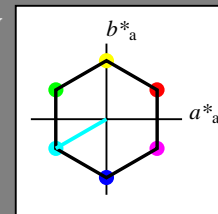


NG220-7, 5 stufige Reihen für konstanten CIELAB Buntton 236/360 = 0.656 (links)

Ausgabe: Farbmétrisches Standard-Reflektiv-System SRS18

für Buntton $h^* = lab^*h = 210/360 = 0.583$
 LAB^*LCH , LAB^*NCH

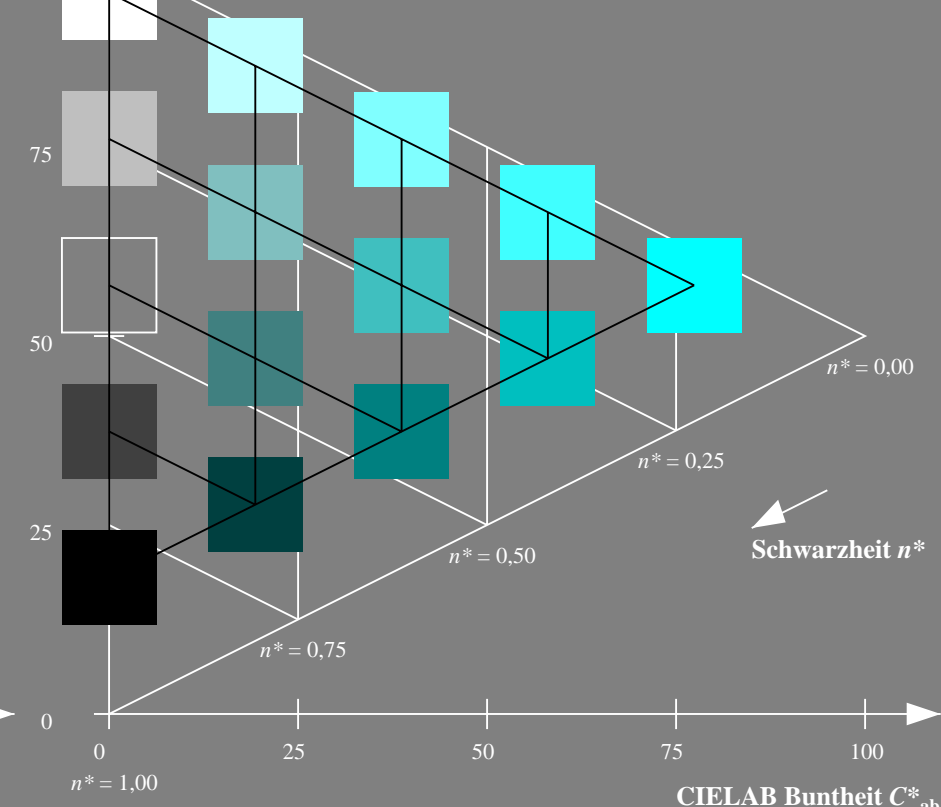
D65: Buntton C
LCH*Ma: 57 77 210
olv*Ma: 0.0 1.0 1.0



SRS18; adaptierte CIELAB-Daten					
	$L^*=L^*_a$	a^*_a	b^*_a	$C^*_{ab,a}$	$h^*_{ab,a}$
O _m	56.71	67.03	38.7	77.4	30
Y _m	56.71	0.0	77.4	77.4	90
L _m	56.71	-67.02	38.7	77.4	150
C _m	56.71	-67.02	-38.69	77.4	210
V _m	56.71	0.0	-77.39	77.4	270
M _m	56.71	67.03	-38.69	77.4	330
N _m	18.01	0.0	0.0	0.0	0
W _m	95.41	0.0	0.0	0.0	0
R _{CIE}	39.92	58.74	27.99	65.07	25
J _{CIE}	81.26	-2.88	71.56	71.62	92
G _{CIE}	52.23	-42.41	13.6	44.55	162
B _{CIE}	30.57	1.41	-46.46	46.49	272

CIELAB-Helligkeit L^*

%Umfang
 $u^*_{rel} = 100$
%Regularität
 $g^*_{H,rel} = 100$
 $g^*_{C,rel} = 100$



5 stufige Reihen für konstanten CIELAB Buntton 210/360 = 0.583 (rechts)

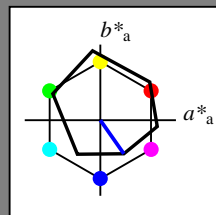
BAM-Prüfvorlage NG22; Farbmétrik-Systeme ORS18 & SRS18 input: olv* setrgbcolor

D65: Koordinatensysteme; 5stufige Farbreihen für 10 Bunttöne output: no change compared to input

Eingabe: Farbmimetrisches Offset-Reflektiv-System ORS18

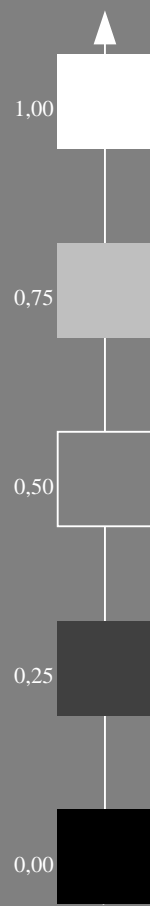
für Buntton $h^* = lab^*h = 305/360 = 0.847$
 lab^*tch und lab^*nch

D65: Buntton V
LCH*Ma: 26 54 305
olv*Ma: 0.0 0.0 1.0



ORS18; adaptierte CIELAB-Daten					
	$L^*=L^*_a$	a^*_a	b^*_a	$C^*_{ab,a}$	$h^*_{ab,a}$
O _m	47.94	65.39	50.52	82.63	38
Y _m	90.37	-10.26	91.75	92.32	96
L _m	50.9	-62.83	34.96	71.91	151
C _m	58.62	-30.34	-45.01	54.3	236
V _m	25.72	31.1	-44.4	54.22	305
M _m	48.13	75.28	-8.36	75.74	354
N _m	18.01	0.0	0.0	0.0	0
W _m	95.41	0.0	0.0	0.0	0
R _{CIE}	39.92	58.66	26.98	64.57	25
J _{CIE}	81.26	-2.16	67.76	67.79	92
G _{CIE}	52.23	-42.25	11.76	43.87	164
B _{CIE}	30.57	1.15	-46.84	46.86	271

Dreiecks-Helligkeit t^*

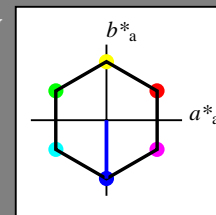


%Umfang
 $u^*_{rel} = 93$
%Regularität
 $g^*_{H,rel} = 57$
 $g^*_{C,rel} = 59$

Ausgabe: Farbmimetrisches Standard-Reflektiv-System SRS18

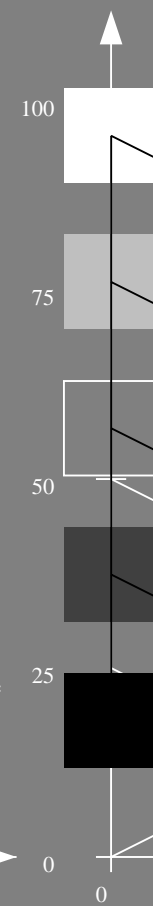
für Buntton $h^* = lab^*h = 270/360 = 0.75$
 LAB^*LCH , LAB^*NCH

D65: Buntton V
LCH*Ma: 57 77 270
olv*Ma: 0.0 0.0 1.0



SRS18; adaptierte CIELAB-Daten					
	$L^*=L^*_a$	a^*_a	b^*_a	$C^*_{ab,a}$	$h^*_{ab,a}$
O _m	56.71	67.03	38.7	77.4	30
Y _m	56.71	0.0	77.4	77.4	90
L _m	56.71	-67.02	38.7	77.4	150
C _m	56.71	-67.02	-38.69	77.4	210
V _m	56.71	0.0	-77.39	77.4	270
M _m	56.71	67.03	-38.69	77.4	330
N _m	18.01	0.0	0.0	0.0	0
W _m	95.41	0.0	0.0	0.0	0
R _{CIE}	39.92	58.74	27.99	65.07	25
J _{CIE}	81.26	-2.88	71.56	71.62	92
G _{CIE}	52.23	-42.41	13.6	44.55	162
B _{CIE}	30.57	1.41	-46.46	46.49	272

CIELAB-Helligkeit L^*



%Umfang
 $u^*_{rel} = 100$
%Regularität
 $g^*_{H,rel} = 100$
 $g^*_{C,rel} = 100$

NG22-7, 5 stufige Reihen für konstanten CIELAB Buntton 305/360 = 0.847 (links)

5 stufige Reihen für konstanten CIELAB Buntton 270/360 = 0.75 (rechts)

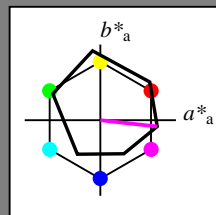
BAM-Prüfvorlage NG22; Farbmimetrik-Systeme ORS18 & SRS18 input: olv* setrgbcolor

D65: Koordinatensysteme; 5stufige Farbreihen für 10 Bunttöne output: no change compared to input

Eingabe: Farbmimetrisches Offset-Reflektiv-System ORS18

für Buntton $h^* = lab^*h = 354/360 = 0.982$
 lab^*tch und lab^*nch

D65: Buntton M
LCH*Ma: 48 76 354
olv*Ma: 1.0 0.0 1.0



ORS18; adaptierte CIELAB-Daten					
	$L^*=L^*_a$	a^*_a	b^*_a	$C^*_{ab,a}$	$h^*_{ab,a}$
O _m	47.94	65.39	50.52	82.63	38
Y _m	90.37	-10.26	91.75	92.32	96
L _m	50.9	-62.83	34.96	71.91	151
C _m	58.62	-30.34	-45.01	54.3	236
V _m	25.72	31.1	-44.4	54.22	305
M _m	48.13	75.28	-8.36	75.74	354
N _m	18.01	0.0	0.0	0.0	0
W _m	95.41	0.0	0.0	0.0	0
R _{CIE}	39.92	58.66	26.98	64.57	25
J _{CIE}	81.26	-2.16	67.76	67.79	92
G _{CIE}	52.23	-42.25	11.76	43.87	164
B _{CIE}	30.57	1.15	-46.84	46.86	271

Dreiecks-Helligkeit t^*

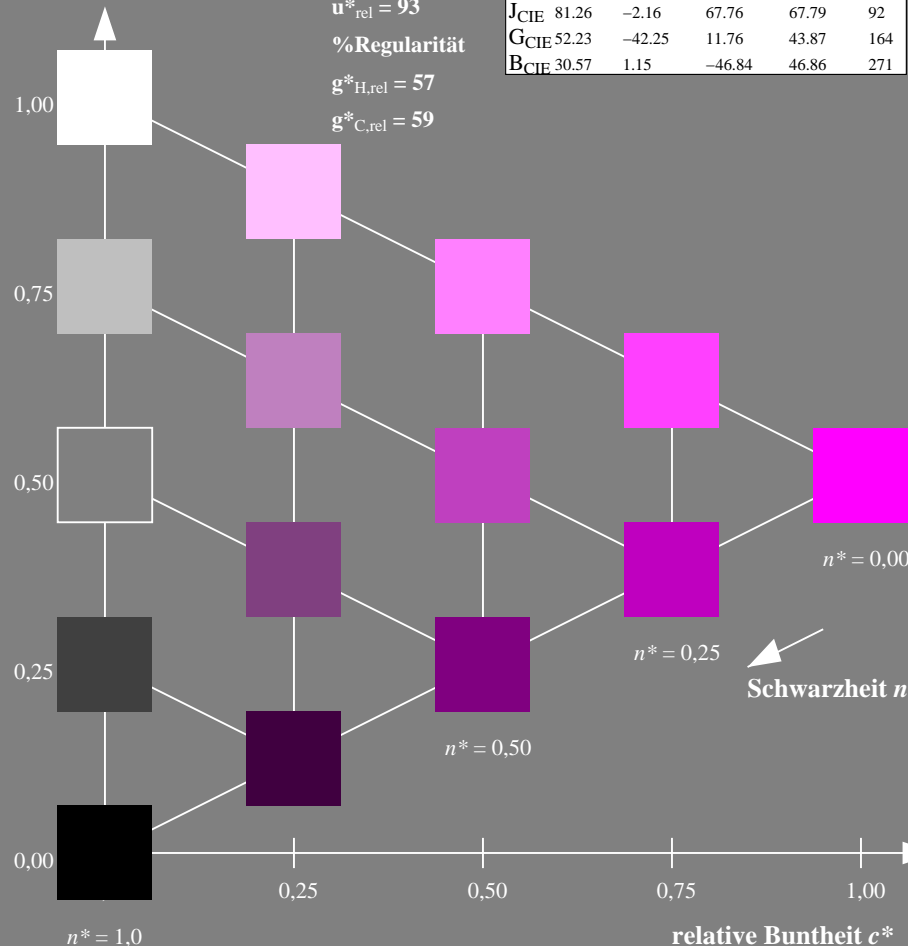
%Umfang

$u^*_{rel} = 93$

%Regularität

$g^*_{H,rel} = 57$

$g^*_{C,rel} = 59$

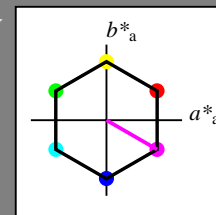


NG220-7, 5 stufige Reihen für konstanten CIELAB Buntton 354/360 = 0.982 (links)

Ausgabe: Farbmimetrisches Standard-Reflektiv-System SRS18

für Buntton $h^* = lab^*h = 330/360 = 0.917$
 LAB^*LCH , LAB^*NCH

D65: Buntton M
LCH*Ma: 57 77 330
olv*Ma: 1.0 0.0 1.0



SRS18; adaptierte CIELAB-Daten					
	$L^*=L^*_a$	a^*_a	b^*_a	$C^*_{ab,a}$	$h^*_{ab,a}$
O _m	56.71	67.03	38.7	77.4	30
Y _m	56.71	0.0	77.4	77.4	90
L _m	56.71	-67.02	38.7	77.4	150
C _m	56.71	-67.02	-38.69	77.4	210
V _m	56.71	0.0	-77.39	77.4	270
M _m	56.71	67.03	-38.69	77.4	330
N _m	18.01	0.0	0.0	0.0	0
W _m	95.41	0.0	0.0	0.0	0
R _{CIE}	39.92	58.74	27.99	65.07	25
J _{CIE}	81.26	-2.88	71.56	71.62	92
G _{CIE}	52.23	-42.41	13.6	44.55	162
B _{CIE}	30.57	1.41	-46.46	46.49	272

CIELAB-Helligkeit L^*

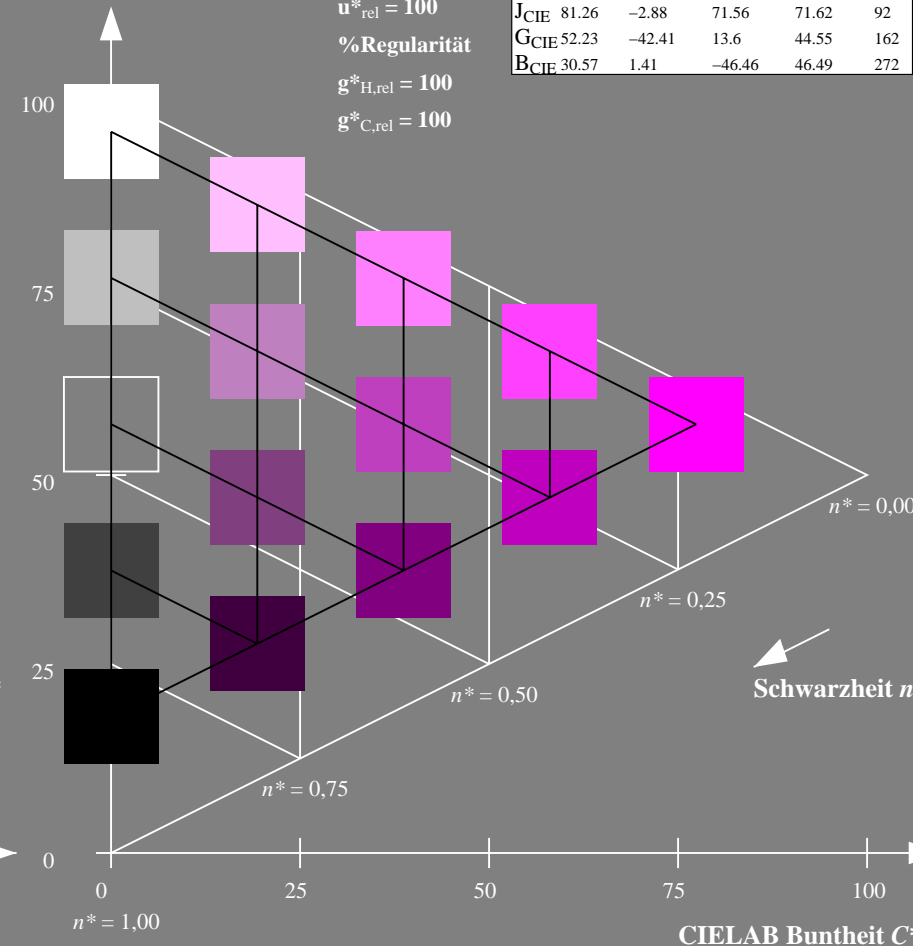
%Umfang

$u^*_{rel} = 100$

%Regularität

$g^*_{H,rel} = 100$

$g^*_{C,rel} = 100$



5 stufige Reihen für konstanten CIELAB Buntton 330/360 = 0.917 (rechts)

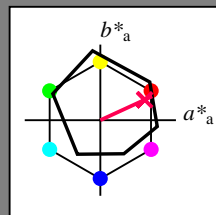
BAM-Prüfvorlage NG22; Farbmimetrik-Systeme ORS18 & SRS18 input: olv* setrgbcolor

D65: Koordinatensysteme; 5stufige Farbreihen für 10 Bunttöne output: no change compared to input

Eingabe: Farbmétrisches Offset-Reflektiv-System ORS18

für Buntton $h^* = lab^*h = 25/360 = 0.069$
 lab^*tch und lab^*nch

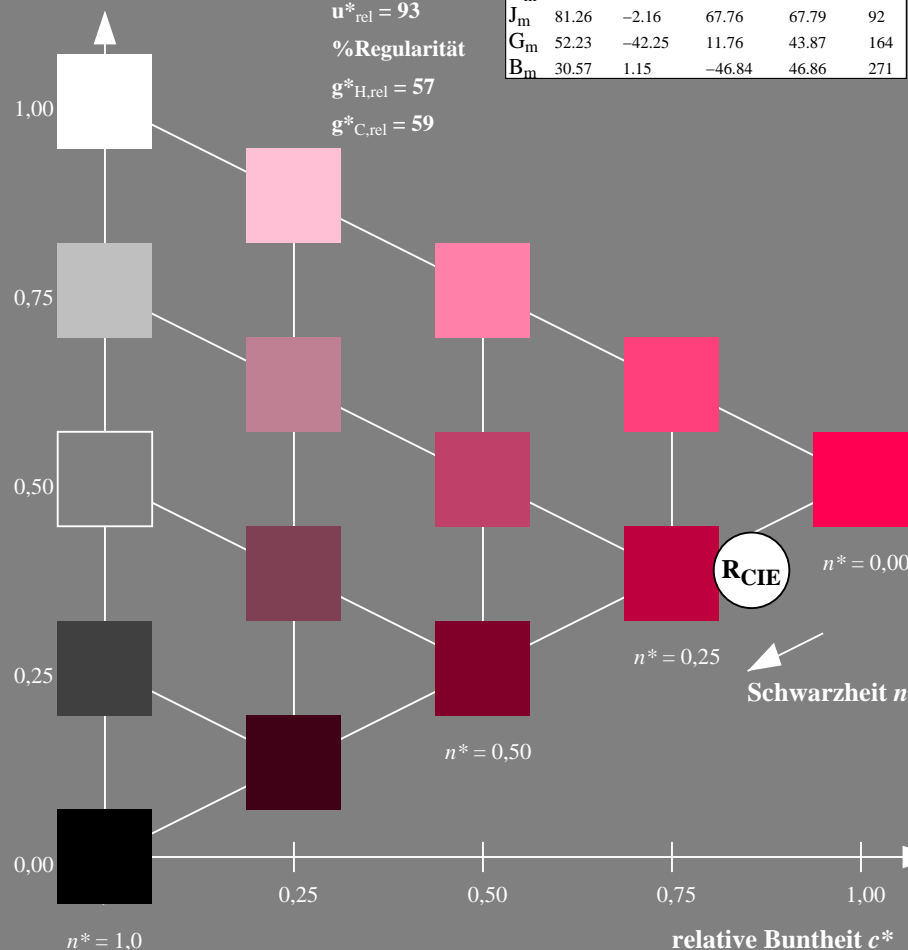
D65: Buntton R
LCH*Ma: 48 75 25
olv*Ma: 1.0 0.0 0.32



ORS18; adaptierte CIELAB-Daten					
	$L^*=L^*_a$	a^*_a	b^*_a	$C^*_{ab,a}$	$h^*_{ab,a}$
O _m	47.94	65.39	50.52	82.63	38
Y _m	90.37	-10.26	91.75	92.32	96
L _m	50.9	-62.83	34.96	71.91	151
C _m	58.62	-30.34	-45.01	54.3	236
V _m	25.72	31.1	-44.4	54.22	305
M _m	48.13	75.28	-8.36	75.74	354
N _m	18.01	0.0	0.0	0.0	0
W _m	95.41	0.0	0.0	0.0	0
R _m	39.92	58.66	26.98	64.57	25
J _m	81.26	-2.16	67.76	67.79	92
G _m	52.23	-42.25	11.76	43.87	164
B _m	30.57	1.15	-46.84	46.86	271

Dreiecks-Helligkeit t^*

%Umfang
 $u^*_{rel} = 93$
%Regularität
 $g^*_{H,rel} = 57$
 $g^*_{C,rel} = 59$

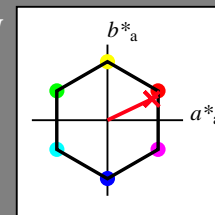


NG220-7, 5 stufige Reihen für konstanten CIELAB Buntton 25/360 = 0.069 (links)

Ausgabe: Farbmétrisches Standard-Reflektiv-System SRS18

für Buntton $h^* = lab^*h = 25/360 = 0.071$
 LAB^*LCH , LAB^*NCH

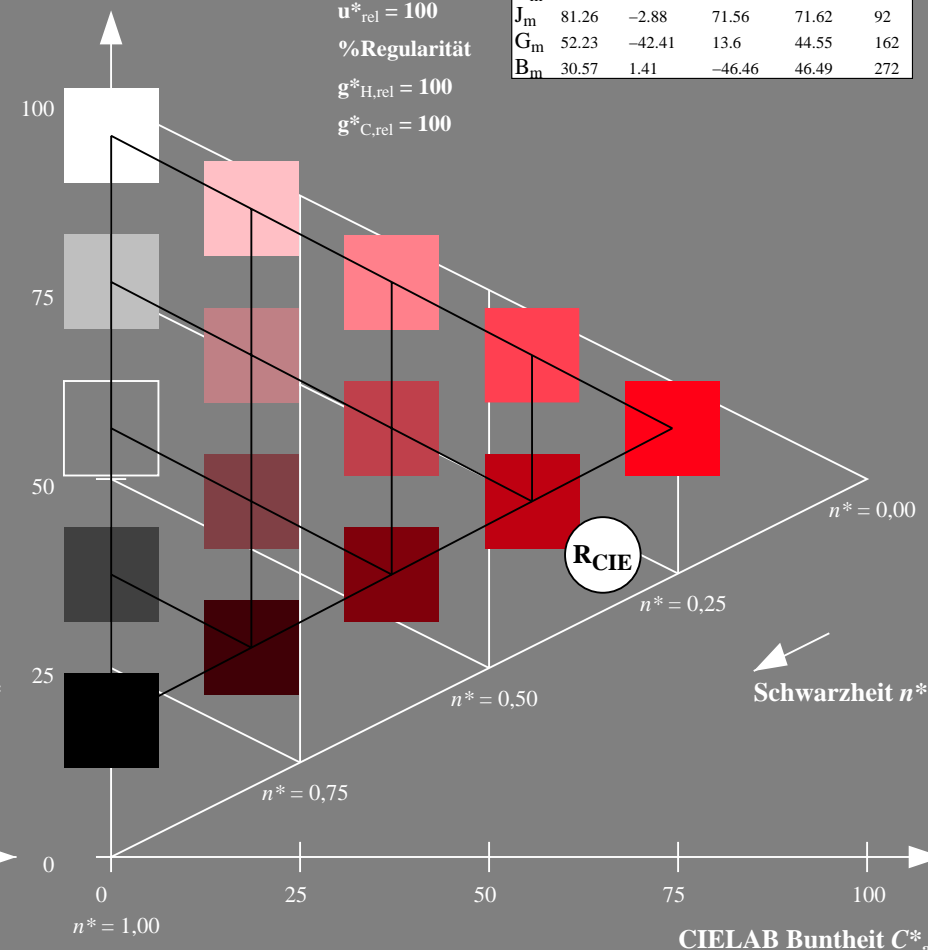
D65: Buntton R
LCH*Ma: 57 74 25
olv*Ma: 1.0 0.0 0.09



SRS18; adaptierte CIELAB-Daten					
	$L^*=L^*_a$	a^*_a	b^*_a	$C^*_{ab,a}$	$h^*_{ab,a}$
O _m	56.71	67.03	38.7	77.4	30
Y _m	56.71	0.0	77.4	77.4	90
L _m	56.71	-67.02	38.7	77.4	150
C _m	56.71	-67.02	-38.69	77.4	210
V _m	56.71	0.0	-77.39	77.4	270
M _m	56.71	67.03	-38.69	77.4	330
N _m	18.01	0.0	0.0	0.0	0
W _m	95.41	0.0	0.0	0.0	0
R _m	39.92	58.74	27.99	65.07	25
J _m	81.26	-2.88	71.56	71.62	92
G _m	52.23	-42.41	13.6	44.55	162
B _m	30.57	1.41	-46.46	46.49	272

CIELAB-Helligkeit L^*

%Umfang
 $u^*_{rel} = 100$
%Regularität
 $g^*_{H,rel} = 100$
 $g^*_{C,rel} = 100$



5 stufige Reihen für konstanten CIELAB Buntton 25/360 = 0.071 (rechts)

BAM-Prüfvorlage NG22; Farbmétrik-Systeme ORS18 & SRS18 input: olv* setrgbcolor

D65: Koordinatensysteme; 5stufige Farbreihen für 10 Bunttöne output: no change compared to input

Eingabe: Farbmimetrisches Offset-Reflektiv-System ORS18

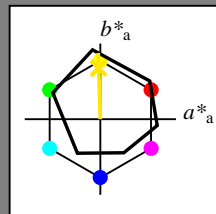
für Buntton $h^* = lab^*h = 92/360 = 0.255$

lab^*tch und lab^*nch

D65: Buntton J

LCH*Ma: 86 88 92

olv*Ma: 1.0 0.9 0.0



ORS18; adaptierte CIELAB-Daten

	$L^*=L^*_a$	a^*_a	b^*_a	$C^*_{ab,a}$	$h^*_{ab,a}$
O _m	47.94	65.39	50.52	82.63	38
Y _m	90.37	-10.26	91.75	92.32	96
L _m	50.9	-62.83	34.96	71.91	151
C _m	58.62	-30.34	-45.01	54.3	236
V _m	25.72	31.1	-44.4	54.22	305
M _m	48.13	75.28	-8.36	75.74	354
N _m	18.01	0.0	0.0	0.0	0
W _m	95.41	0.0	0.0	0.0	0
R _m	39.92	58.66	26.98	64.57	25
J _m	81.26	-2.16	67.76	67.79	92
G _m	52.23	-42.25	11.76	43.87	164
B _m	30.57	1.15	-46.84	46.86	271

Dreiecks-Helligkeit t^*

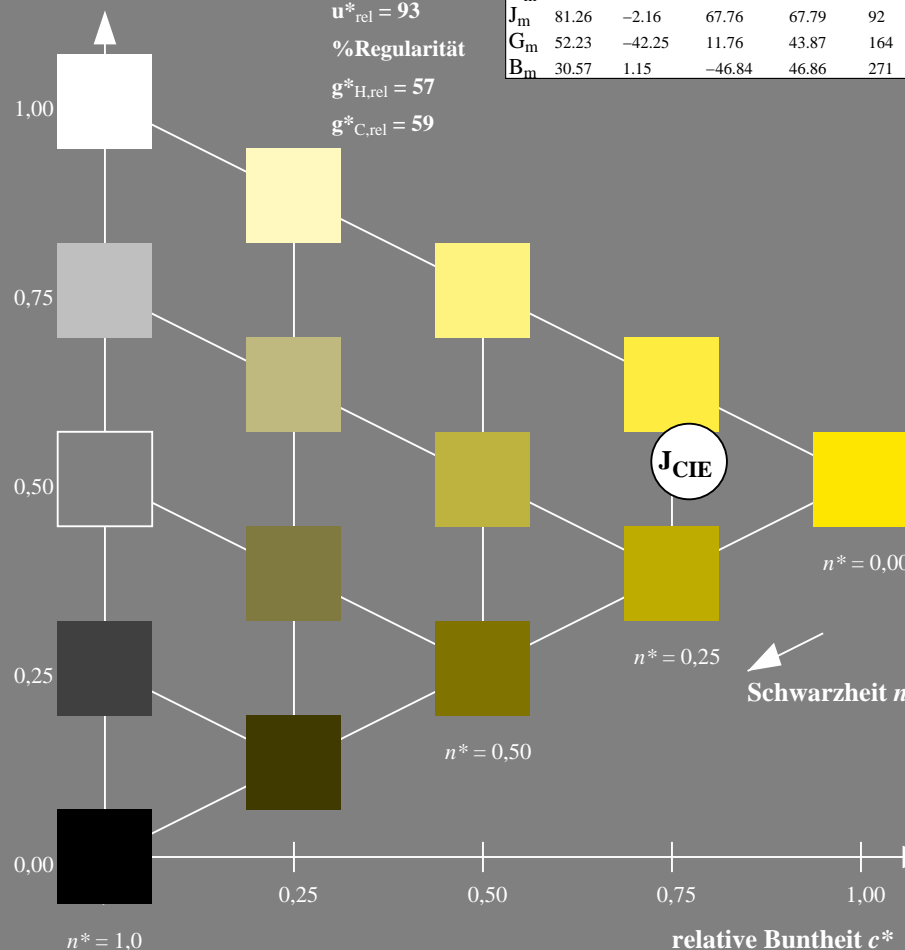
%Umfang

$u^*_{rel} = 93$

%Regularität

$g^*_{H,rel} = 57$

$g^*_{C,rel} = 59$



NG220-7, 5 stufige Reihen für konstanten CIELAB Buntton 92/360 = 0.255 (links)

Ausgabe: Farbmimetrisches Standard-Reflektiv-System SRS18

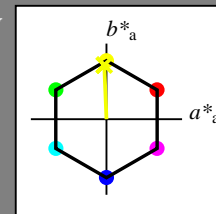
für Buntton $h^* = lab^*h = 92/360 = 0.256$

LAB^*LCH , LAB^*NCH

D65: Buntton J

LCH*Ma: 57 76 92

olv*Ma: 0.95 1.0 0.0



SRS18; adaptierte CIELAB-Daten

	$L^*=L^*_a$	a^*_a	b^*_a	$C^*_{ab,a}$	$h^*_{ab,a}$
O _m	56.71	67.03	38.7	77.4	30
Y _m	56.71	0.0	77.4	77.4	90
L _m	56.71	-67.02	38.7	77.4	150
C _m	56.71	-67.02	-38.69	77.4	210
V _m	56.71	0.0	-77.39	77.4	270
M _m	56.71	67.03	-38.69	77.4	330
N _m	18.01	0.0	0.0	0.0	0
W _m	95.41	0.0	0.0	0.0	0
R _m	39.92	58.74	27.99	65.07	25
J _m	81.26	-2.88	71.56	71.62	92
G _m	52.23	-42.41	13.6	44.55	162
B _m	30.57	1.41	-46.46	46.49	272

CIELAB-Helligkeit L^*

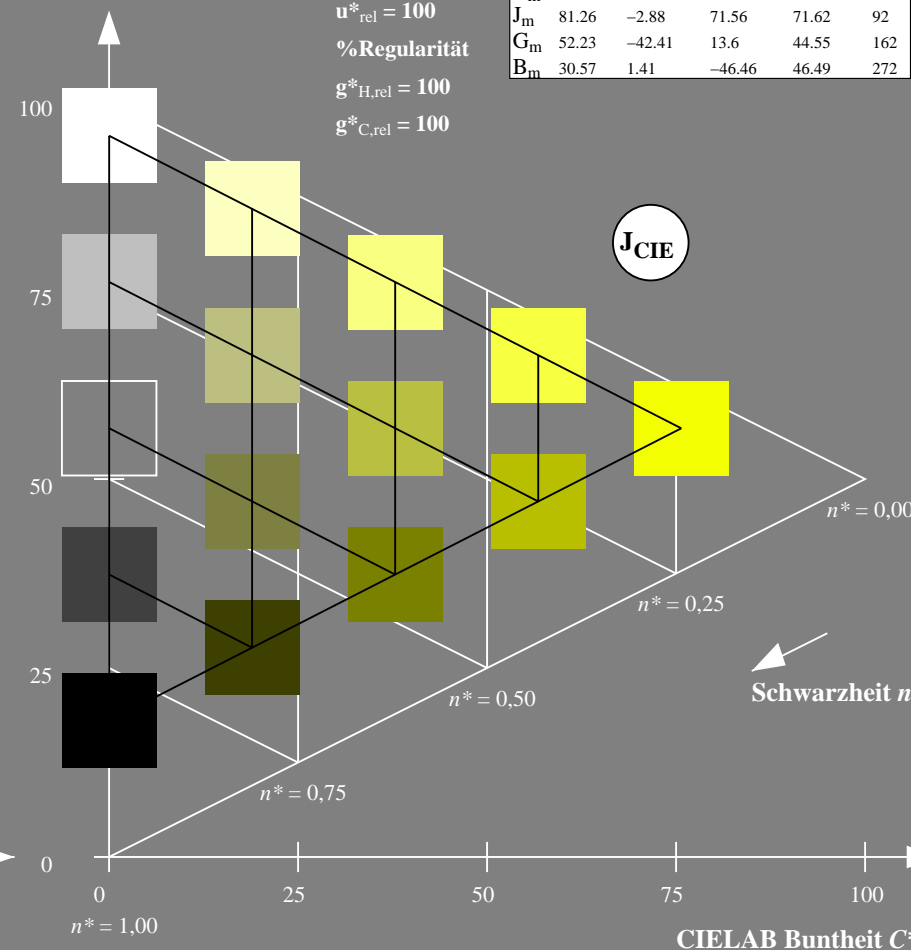
%Umfang

$u^*_{rel} = 100$

%Regularität

$g^*_{H,rel} = 100$

$g^*_{C,rel} = 100$



5 stufige Reihen für konstanten CIELAB Buntton 92/360 = 0.256 (rechts)

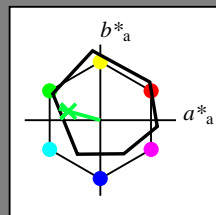
BAM-Prüfvorlage NG22; Farbmimetrik-Systeme ORS18 & SRS18 input: olv* setrgbcolor

D65: Koordinatensysteme; 5stufige Farbreihen für 10 Bunttöne output: no change compared to input

Eingabe: Farbmimetrisches Offset-Reflektiv-System ORS18

für Buntton $h^* = lab^*h = 164/360 = 0.457$
 lab^*tch und lab^*nch

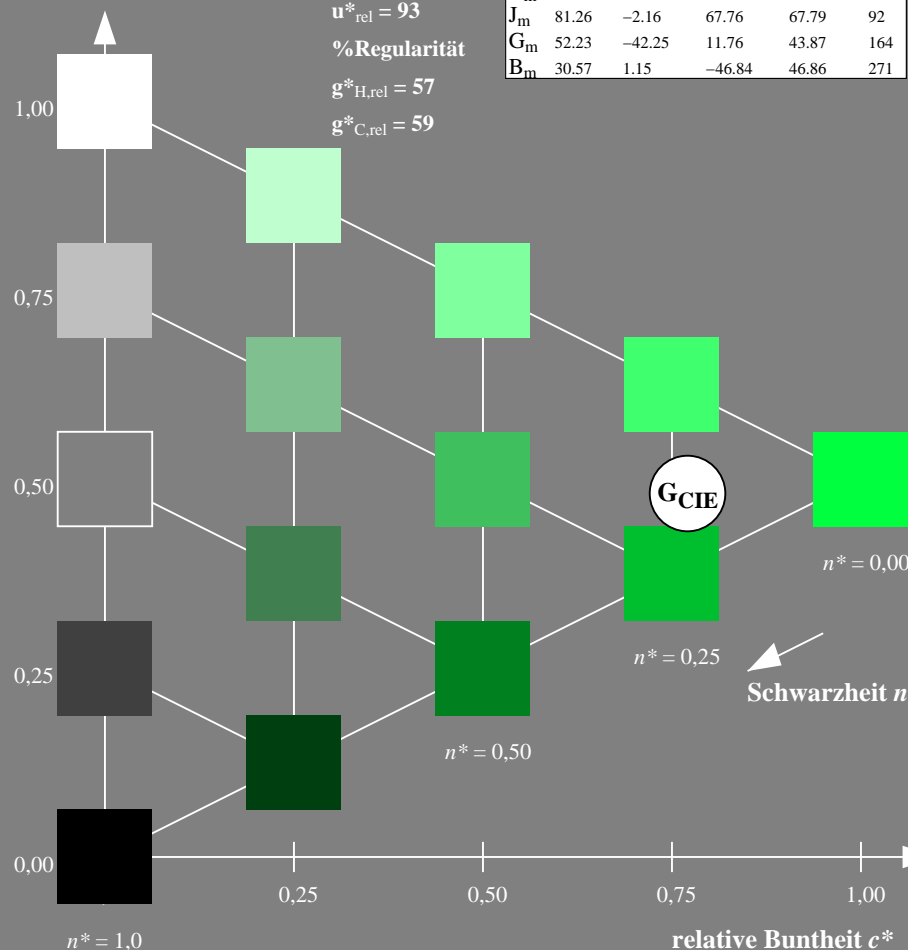
D65: Buntton G
LCH*Ma: 53 57 164
olv*Ma: 0.0 1.0 0.25



ORS18; adaptierte CIELAB-Daten					
	$L^*=L^*_a$	a^*_a	b^*_a	$C^*_{ab,a}$	$h^*_{ab,a}$
O _m	47.94	65.39	50.52	82.63	38
Y _m	90.37	-10.26	91.75	92.32	96
L _m	50.9	-62.83	34.96	71.91	151
C _m	58.62	-30.34	-45.01	54.3	236
V _m	25.72	31.1	-44.4	54.22	305
M _m	48.13	75.28	-8.36	75.74	354
N _m	18.01	0.0	0.0	0.0	0
W _m	95.41	0.0	0.0	0.0	0
R _m	39.92	58.66	26.98	64.57	25
J _m	81.26	-2.16	67.76	67.79	92
G _m	52.23	-42.25	11.76	43.87	164
B _m	30.57	1.15	-46.84	46.86	271

Dreiecks-Helligkeit t^*

%Umfang
 $u^*_{rel} = 93$
%Regularität
 $g^*_{H,rel} = 57$
 $g^*_{C,rel} = 59$

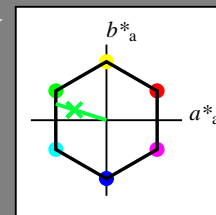


NG220-7, 5 stufige Reihen für konstanten CIELAB Buntton 164/360 = 0.457 (links)

Ausgabe: Farbmimetrisches Standard-Reflektiv-System SRS18

für Buntton $h^* = lab^*h = 162/360 = 0.451$
 LAB^*LCH , LAB^*NCH

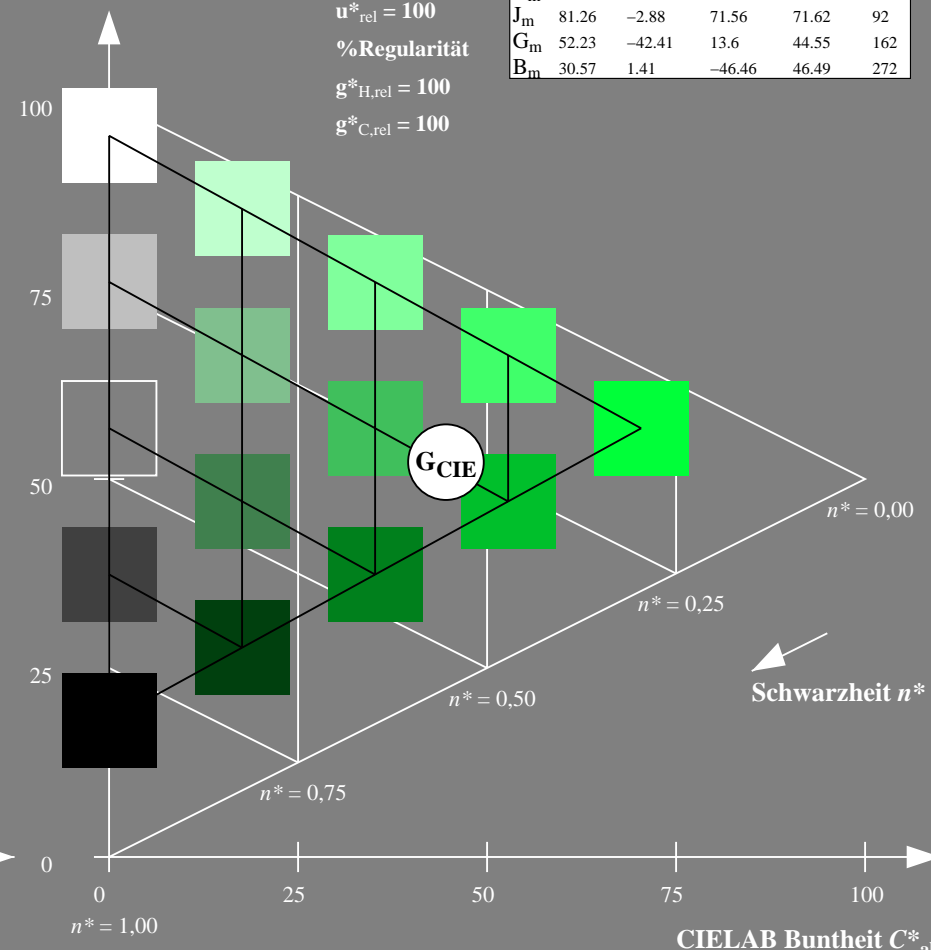
D65: Buntton G
LCH*Ma: 57 70 162
olv*Ma: 0.0 1.0 0.22



SRS18; adaptierte CIELAB-Daten					
	$L^*=L^*_a$	a^*_a	b^*_a	$C^*_{ab,a}$	$h^*_{ab,a}$
O _m	56.71	67.03	38.7	77.4	30
Y _m	56.71	0.0	77.4	77.4	90
L _m	56.71	-67.02	38.7	77.4	150
C _m	56.71	-67.02	-38.69	77.4	210
V _m	56.71	0.0	-77.39	77.4	270
M _m	56.71	67.03	-38.69	77.4	330
N _m	18.01	0.0	0.0	0.0	0
W _m	95.41	0.0	0.0	0.0	0
R _m	39.92	58.74	27.99	65.07	25
J _m	81.26	-2.88	71.56	71.62	92
G _m	52.23	-42.41	13.6	44.55	162
B _m	30.57	1.41	-46.46	46.49	272

CIELAB-Helligkeit L^*

%Umfang
 $u^*_{rel} = 100$
%Regularität
 $g^*_{H,rel} = 100$
 $g^*_{C,rel} = 100$



5 stufige Reihen für konstanten CIELAB Buntton 162/360 = 0.451 (rechts)

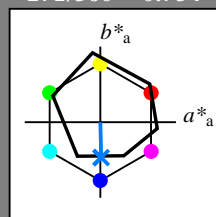
BAM-Prüfvorlage NG22; Farbmimetrik-Systeme ORS18 & SRS18 input: olv* setrgbcolor

D65: Koordinatensysteme; 5stufige Farbreihen für 10 Bunttöne output: no change compared to input

Eingabe: Farbmimetrisches Offset-Reflektiv-System ORS18

für Buntton $h^* = lab^*h = 271/360 = 0.754$
 lab^*tch und lab^*nch

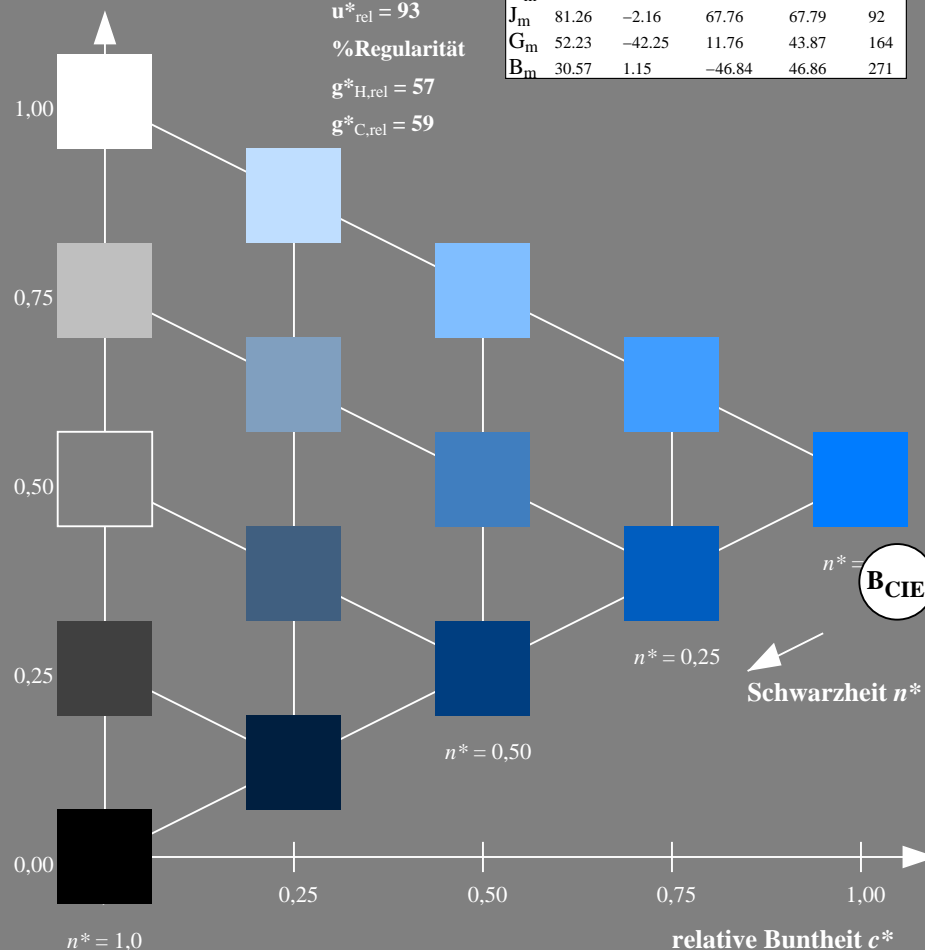
D65: Buntton B
LCH*Ma: 42 45 271
olv*Ma: 0.0 0.49 1.0



ORS18; adaptierte CIELAB-Daten					
	$L^*=L^*_a$	a^*_a	b^*_a	$C^*_{ab,a}$	$h^*_{ab,a}$
O _m	47.94	65.39	50.52	82.63	38
Y _m	90.37	-10.26	91.75	92.32	96
L _m	50.9	-62.83	34.96	71.91	151
C _m	58.62	-30.34	-45.01	54.3	236
V _m	25.72	31.1	-44.4	54.22	305
M _m	48.13	75.28	-8.36	75.74	354
N _m	18.01	0.0	0.0	0.0	0
W _m	95.41	0.0	0.0	0.0	0
R _m	39.92	58.66	26.98	64.57	25
J _m	81.26	-2.16	67.76	67.79	92
G _m	52.23	-42.25	11.76	43.87	164
B _m	30.57	1.15	-46.84	46.86	271

Dreiecks-Helligkeit t^*

%Umfang
 $u^*_{rel} = 93$
%Regularität
 $g^*_{H,rel} = 57$
 $g^*_{C,rel} = 59$

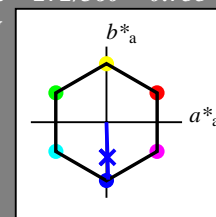


NG220-7, 5 stufige Reihen für konstanten CIELAB Buntton 271/360 = 0.754 (links)

Ausgabe: Farbmimetrisches Standard-Reflektiv-System SRS18

für Buntton $h^* = lab^*h = 272/360 = 0.755$
 LAB^*LCH , LAB^*NCH

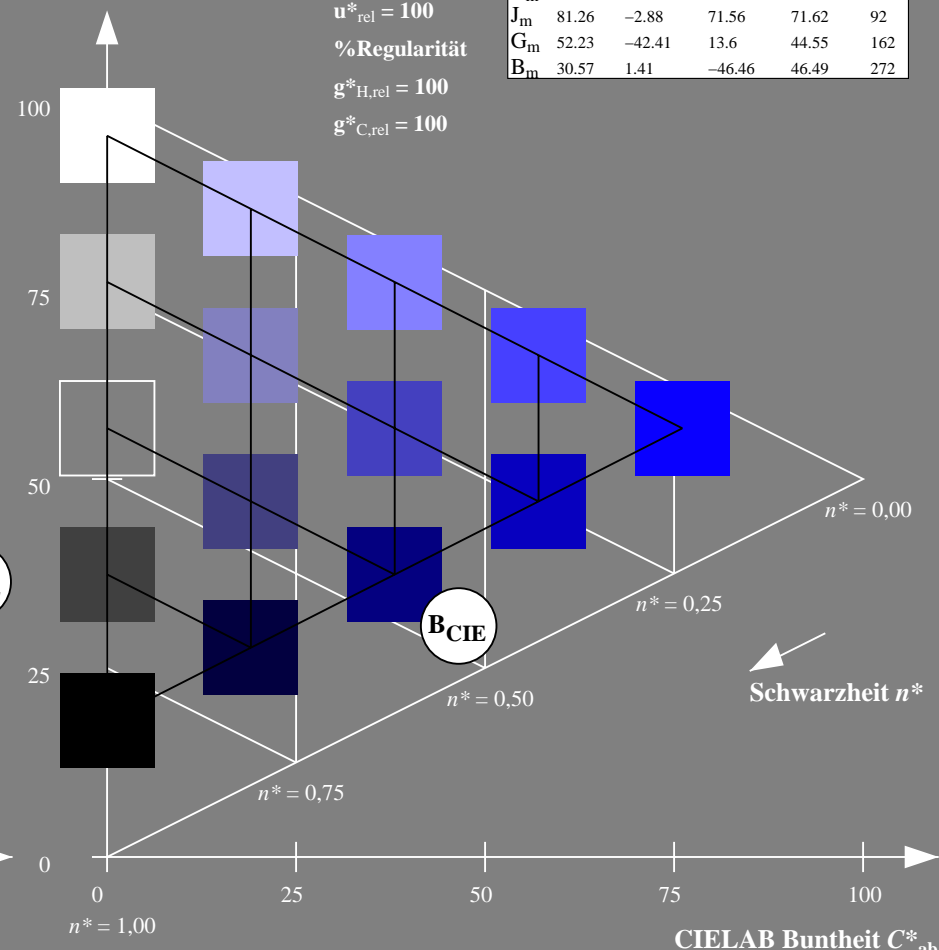
D65: Buntton B
LCH*Ma: 57 76 272
olv*Ma: 0.03 0.0 1.0



SRS18; adaptierte CIELAB-Daten					
	$L^*=L^*_a$	a^*_a	b^*_a	$C^*_{ab,a}$	$h^*_{ab,a}$
O _m	56.71	67.03	38.7	77.4	30
Y _m	56.71	0.0	77.4	77.4	90
L _m	56.71	-67.02	38.7	77.4	150
C _m	56.71	-67.02	-38.69	77.4	210
V _m	56.71	0.0	-77.39	77.4	270
M _m	56.71	67.03	-38.69	77.4	330
N _m	18.01	0.0	0.0	0.0	0
W _m	95.41	0.0	0.0	0.0	0
R _m	39.92	58.74	27.99	65.07	25
J _m	81.26	-2.88	71.56	71.62	92
G _m	52.23	-42.41	13.6	44.55	162
B _m	30.57	1.41	-46.46	46.49	272

CIELAB-Helligkeit L^*

%Umfang
 $u^*_{rel} = 100$
%Regularität
 $g^*_{H,rel} = 100$
 $g^*_{C,rel} = 100$



5 stufige Reihen für konstanten CIELAB Buntton 272/360 = 0.755 (rechts)

BAM-Prüfvorlage NG22; Farbmimetrik-Systeme ORS18 & SRS18 input: olv* setrgbcolor

D65: Koordinatensysteme; 5stufige Farbreihen für 10 Bunttöne output: no change compared to input